



UNIVERSIDAD DE GRANADA

TRABAJO FIN DE MÁSTER
MASTER EN DESARROLLO DE SOFTWARE

Titulo del TFM

Subtítulo del TFM

Autor

Nombre Apellido1 Apellido2 (estudiante)

Director/es

Nombre Apellido1 Apellido2 (tutor 1)
Nombre Apellido1 Apellido2 (tutor 2)



ESCUELA TÉCNICA SUPERIOR DE INGENIERÍAS INFORMÁTICA Y DE TELECOMUNICACIÓN

Granada, 17 de enero de 2026



Titulo del TFM

Subtítulo del TFM

Autor

Nombre Apellido1 Apellido2 (estudiante)

Director/es

Nombre Apellido1 Apellido2 (tutor 1)

Nombre Apellido1 Apellido2 (tutor 2)

Titulo del TFM: Subtítulo del TFM

Nombre Apellido1 Apellido2 (estudiante)

Palabras clave: palabra clave 1, palabra clave 2, . . . , palabra clave N

Resumen

Poner aquí el resumen del TFM en español.

Master Thesis Title: Master Thesis Subtitle

Nombre Apellido1 Apellido2 (estudiante)

Keywords: keyword 1, keyword 2, . . . , keyword N

Abstract

Write here the abstract of your master thesis in English.

Yo, **Nombre Apellido1 Apellido2 (estudiante)**, alumno del **MÁSTER DE DESARROLLO DEL SOFTWARE**, con DNI **00112233-A**, autorizo la ubicación de la siguiente copia de mi Trabajo Fin de Máster en la biblioteca del centro para que pueda ser consultada por las personas que lo deseen.

Fdo: *Nombre Apellido1 Apellido2 (estudiante)*

Granada a 17 de enero de 2026.

D. **Nombre Apellido1 Apellido2 (tutor 1)**, Profesor del Área de Lenguajes y Sistemas Informáticos del Departamento Lenguajes y Sistemas Informáticos de la Universidad de Granada.

D. **Nombre Apellido1 Apellido2 (tutor 2)**, Profesor del Área de Lenguajes y Sistemas Informáticos del Departamento de Lenguajes y Sistemas Informáticos de la Universidad de Granada.

Informan:

Que el presente trabajo, titulado ***Titulo del TFM, Subtítulo del TFM***, ha sido realizado bajo su supervisión por **Nombre Apellido1 Apellido2 (estudiante)**, y autorizamos la defensa de dicho trabajo ante el tribunal que corresponda.

Y para que conste, expiden y firman el presente informe en Granada a 17 de enero de 2026.

Los directores:

Nombre Apellido1 Apellido2 (tutor 1) Nombre Apellido1 Apellido2 (tutor 2)

Yo, **Nombre Apellido1 Apellido2** (estudiante), alumno del **MÁSTER DE DESARROLLO DEL SOFTWARE** de la **Escuela Técnica Superior de Ingenierías Informática y de Telecomunicación de la Universidad de Granada**, con DNI **00112233-A**, declaro explícitamente que el trabajo presentado es original, entendido en el sentido que no he utilizado ninguna fuente sin citarla debidamente.

Fdo: **Nombre Apellido1 Apellido2** (estudiante)

Granada, 17 de enero de 2026.

Agradecimientos

Poner aquí los agradecimientos.

Índice general

1. Introducción	1
1.1. Contexto y Motivación	1
1.2. Planteamiento del Problema	2
1.3. Objetivos del Trabajo	2
1.4. Metodología y Plan de Trabajo	3
1.5. Estructura de la Memoria	3
2. Estado del arte	5
2.1. La Ecuación de Renderizado	5
2.2. Métodos de Monte Carlo en Renderizado	6
2.2.1. El Problema de la Varianza y la Convergencia	6
2.3. Muestreo por Importancia (Importance Sampling)	6
2.4. Estrategias de Muestreo para Luces Extensas	7
2.4.1. Muestreo de Área Uniforme (Area Sampling)	7
2.4.2. Muestreo por Ángulo Sólido (Solid Angle Sampling)	7
2.5. Evolución del Hardware: Ray Tracing en Tiempo Real	7
3. Desarrollo Propuesto del TFM	9
3.1. Selección de Herramientas y Entorno de Desarrollo	9
3.2. Arquitectura del Sistema Propuesta	10
3.2.1. El Pipeline de OptiX	10
3.3. Implementación de Estrategias de Muestreo	11
3.3.1. Estrategia A: Muestreo Uniforme de Área	11
3.3.2. Estrategia B: Muestreo por Ángulo Sólido	12
3.4. Plan de Validación y Métricas	12
4. Resultados y discusión	13
4.1. Entorno Experimental	13
4.2. Comparativa de Calidad Visual (Varianza)	13
4.2.1. Escenario de Luz Cercana	13
4.3. Análisis de Convergencia (RMSE)	14
4.4. Análisis de Rendimiento (Tiempo de Cómputo)	15
4.4.1. Discusión del Trade-off	15

4.5. Limitaciones Encontradas	15
5. Conclusiones	17
Bibliografía	19
A. Ejemplo de anexo: Planificación y gestión del proyecto (opcional)	21
A.1. Metodología/Ciclo de vida	22
A.2. Herramientas y plataformas utilizadas para el desarrollo del proyecto	22
A.3. Costes del proyecto	22
A.4. Gestión del proyecto. Planificación temporal. Diagrama de Gantt	22
A.5. Texto añadido	22
B. Ejemplo de anexo: Innovación (opcional)	25
B.1. Estudio del Mercado	25
B.1.1. Segmentos de Clientes	25
B.1.2. Competidores	25
B.2. Propuesta de Valor	25
B.3. Recursos Clave	25
B.4. Actividades Clave	26
B.5. Socios y Alianzas Clave	26
B.6. Estructura de Costes Prevista	26
B.7. Vías de Ingresos	26
B.8. Canales de Distribución	26
B.9. Relación con los Clientes	26
B.10. Descripción del Producto Mínimo Viable	26
B.11. Roadmap de Desarrollo	26
B.12. Aspectos Legales	27
B.13. Texto añadido	27
C. Ejemplo de anexo: Manual de usuario (opcional)	31
C.1. Texto añadido	31

Índice de figuras

3.1.	Relación entre los programas del pipeline de NVIDIA OptiX. Los bloques verdes representan funciones fijas del hardware/driver, mientras que los grises representan los programas definidos por el usuario. Fuente: [1].	10
3.2.	Relación geométrica entre el área diferencial dA y el ángulo sólido diferencial $d\omega$. El término $\cos \theta$ representa la proyección del área sobre la dirección del rayo, y r^2 representa la atenuación cuadrática con la distancia. Fuente: Pharr et al. [4].	11
4.1.	Comparativa visual a bajas muestras. El método uniforme presenta ruido de alta frecuencia ("salt and pepper"), mientras que el muestreo por ángulo sólido produce una imagen notablemente más suave.	14

Índice de tablas

4.1. Comparativa de error (RMSE) según número de muestras (spp). Menor es mejor. . .	14
4.2. Tiempo medio de renderizado por frame (en milisegundos) a resolución 1080p. . . .	15

Capítulo 1

Introducción

1.1. Contexto y Motivación

La síntesis de imágenes realistas se plantea como uno de los objetivos más ambiciosos y complejos de la informática gráfica desde su concepción. La industria de los gráficos en tiempo real, conformada principalmente por los videojuegos y la simulación interactiva, ha basado su trabajo en la técnica de renderizado de la rasterización durante décadas. Si bien la rasterización es eficiente en cuánto a términos computacionales, esta se limita al no simular la correctamente las bases físicas de la iluminación y depender de aproximaciones y trucos visuales para poder imitar el comportamiento de la luz.

Teniendo esto en cuenta, en las últimas décadas se ha producido un cambio de paradigma fundamental gracias a la introducción de la Ecuación de Renderizado [2] y al aumento exponencial de la potencia de cálculo de los sistemas informáticos modernos. Si bien técnicas como el *Ray Tracing* surgieron inicialmente [3], ha sido la evolución hacia algoritmos estocásticos como el *Path Tracing* lo que ha marcado la diferencia. Estas últimas técnicas se han convertido en el estándar indiscutible para la producción de imágenes realistas en la industria cinematográfica [4].

Gracias a la aparición de hardware de consumo dedicado, concretamente las Unidades de Procesamiento Gráfico (GPU) y la capacidad de sus núcleos de aceleración de trazado de rayos se plantea como posible el desarrollo de la iluminación global en tiempo real. Debido a esto es que se pueden lograr hazañas como la simulación de fenómenos físicos complejos como reflexiones, refracciones y sombras de forma interactiva, muestra del progreso tecnológico que se ha experimentado esta última década en los sistemas domésticos.

Aún así, debido a la complejidad de la iluminación global esta sigue siendo una tarea increíblemente costosa. Se requiere de resolver y computar integrales multidimensionales por cada píxel de la imagen para lograr la simulación precisa del transporte de la luz. Para lograr un tasa de fotogramas objetivo de 60 fotogramas por segundo se requiere que todo este computo se realice dentro de un plazo de aproximadamente 16 milisegundos.

1.2. Planteamiento del Problema

El desafío central de este trabajo no es solo generar una imagen realista, sino hacerlo de manera eficiente. Los motores de renderizados con base en la física hacen uso de métodos como Monte Carlo que les permiten estimar la cantidad de luz que llega a la cámara de forma estocástica, obteniendo de esta manera una muestra uniforme de la escena.

Sin embargo el uso de Monte Carlo también presenta desventajas. Principalmente al muestrear distintas fuentes de luz, se puede observar cierta varianza o "ruido" dentro de las imágenes. Este problema es especialmente notable cuando tratamos con fuentes de luz extensas (Area Lights) las cuáles, a diferencia de las fuentes de luz puntuales, se extienden a lo largo de un área. Estas fuentes requieren de un algoritmo de muestreo inteligente o de lo contrario se desperdiciarían recursos muestreando direcciones sin importancia real de cara al resultado de la iluminación de la imagen real.

Es por esto que se originan soluciones matemáticas originadas en el Muestreo por Importancia (Importance Sampling) con el objetivo de orientar los rayos hacia las zonas con mayor relevancia lumínica

1.3. Objetivos del Trabajo

El objetivo principal de este Trabajo Fin de Máster es el análisis, diseño, implementación y validación de un sistema software interactivo de visualización 3D. Este sistema se basará en técnicas de *Path Tracing* con cálculo de Iluminación Global, diseñado para aprovechar eficientemente la arquitectura paralela de las GPUs modernas.

De este objetivo general se desprenden los siguientes objetivos específicos:

1. **Diseño de la Arquitectura:** Definir los requerimientos funcionales y no funcionales de un motor de renderizado híbrido o puro de trazado de rayos, seleccionando las APIs gráficas más adecuadas (como Vulkan, DirectX 12 o NVIDIA OptiX) para el desarrollo.
2. **Implementación de Algoritmos de Muestreo:** Desarrollar e integrar en el sistema diversos estimadores de iluminación directa, comparando estrategias de muestreo uniforme frente a estrategias de muestreo por ángulo sólido.
3. **Evaluación Comparativa:** Realizar pruebas de rendimiento y calidad visual para cuantificar la eficiencia de los algoritmos implementados. Se busca demostrar cómo las técnicas de muestreo por importancia reducen el tiempo de convergencia de la imagen.
4. **Producción de una Herramienta Interactiva:** El resultado final será una aplicación funcional que permita al usuario navegar por una escena 3D y observar en tiempo real el impacto de los diferentes algoritmos de iluminación.

1.4. Metodología y Plan de Trabajo

Para la consecución de los objetivos planteados, se ha seguido una metodología incremental e iterativa. El desarrollo se ha estructurado en fases claramente diferenciadas que abarcan desde la investigación teórica hasta la implementación práctica.

El plan de trabajo ha constado de las siguientes etapas:

- Investigación teórica sobre la física del transporte de luz y estadística aplicada (Monte Carlo).
- Estudio de las herramientas de desarrollo para GPGPU (General-Purpose computing on Graphics Processing Units).
- Desarrollo del núcleo del motor de renderizado (*kernel* de trazado de rayos).
- Implementación progresiva de materiales y fuentes de luz.
- Fase de pruebas, recolección de métricas (tiempos de *frame* y error numérico) y optimización.

1.5. Estructura de la Memoria

El presente documento recoge todo el proceso de investigación y desarrollo llevado a cabo. A continuación del presente capítulo introductorio, la memoria se organiza de la siguiente manera:

El **Capítulo 2** establece el marco teórico, describiendo la Ecuación de Renderizado y profundizando en las matemáticas detrás de la integración de Monte Carlo y el Muestreo por Importancia. El **Capítulo 3** detalla el diseño y la implementación del sistema, justificando la elección de las tecnologías y describiendo la arquitectura del software desarrollado. El **Capítulo 4** presenta los resultados obtenidos, ofreciendo comparativas visuales y gráficas de rendimiento que validan las hipótesis planteadas. Finalmente, el **Capítulo 5** expone las conclusiones alcanzadas y propone líneas de trabajo futuro para continuar mejorando el sistema.

Capítulo 2

Estado del arte / Trabajos previos

Para abordar el diseño de un sistema de renderizado realista basado en trazado de rayos, es imperativo comprender los fundamentos físicos del transporte de la luz y las herramientas estadísticas necesarias para simularlo computacionalmente [4]. Este capítulo revisa la formulación matemática del problema, los métodos numéricos para resolverla y las técnicas modernas de muestreo para reducir la varianza en fuentes de luz extensas.

2.1. La Ecuación de Renderizado

En la síntesis de imágenes, la prioridad reside en calcular la radiancia que alcanza los sensores de una cámara virtual. El fundamento teórico de este cálculo es la Ecuación de Renderizado, la cual describe el equilibrio de la energía lumínica en la escena mediante una formulación integral [2].

Para un punto x en una superficie, la radiancia saliente L_o en una dirección ω_o es la suma de la luz emitida por la propia superficie en caso de ser una fuente de luz y la luz reflejada proveniente de todas las direcciones incidentes sobre el hemisferio Ω :

$$L_o(x, \omega_o) = L_e(x, \omega_o) + \int_{\Omega} f_r(x, \omega_i, \omega_o) L_i(x, \omega_i) (\omega_i \cdot n) d\omega_i \quad (2.1)$$

Donde:

- $L_o(x, \omega_o)$: Radiancia saliente (la luz que viaja hacia la cámara).
- $L_e(x, \omega_o)$: Radiancia emitida (término no nulo solo si el objeto es una fuente de luz).
- Ω : El hemisferio de direcciones centrada en la normal de la superficie n .
- $f_r(x, \omega_i, \omega_o)$: La función de distribución de reflectancia bidireccional (**BRDF**), que describe las propiedades materiales (color, rugosidad, metalicidad) [5].
- $L_i(x, \omega_i)$: Radiancia incidente desde la dirección ω_i .

- $(\omega_i \cdot n)$: El factor del coseno de Lambert, que atenúa la luz incidente según el ángulo.

Esta ecuación es recursiva por naturaleza: para conocer la luz incidente L_i , debemos evaluar la L_o de otro punto en la escena, lo que da lugar a caminos de luz infinitos.

2.2. Métodos de Monte Carlo en Renderizado

Salvo en escenas triviales, la ecuación (2.1) no tiene solución analítica. Por ello, se utilizan métodos de integración numérica estocástica, conocidos como métodos de Monte Carlo.

La idea central es aproximar la integral mediante el promedio de N muestras aleatorias. El estimador de Monte Carlo para la integral de iluminación es:

$$\langle L_o \rangle \approx \frac{1}{N} \sum_{k=1}^N \frac{f_r(\dots) L_i(\dots) (\omega_i \cdot n)}{p(\omega_k)} \quad (2.2)$$

Donde $p(\omega_k)$ es la Función de Densidad de Probabilidad (PDF) con la que se escogieron las direcciones aleatorias.

2.2.1. El Problema de la Varianza y la Convergencia

Los métodos de Monte Carlo son “imparciales” (su esperanza matemática es el valor real de la integral), pero sufren de varianza. En una imagen renderizada, la varianza se manifiesta como ruido de alta frecuencia [6]. El error de un estimador de Monte Carlo decrece a un ritmo de $O(1/\sqrt{N})$. Como consecuencia, para reducir el ruido a la mitad, necesitamos multiplicar por cuatro el número de muestras y tiempo de cálculo. Dado que en tiempo real disponemos de tiempo limitado para muestrear, optimizar la convergencia es crítico.

2.3. Muestreo por Importancia (Importance Sampling)

La técnica más efectiva para reducir la varianza sin aumentar el número de muestras (N) es el *Muestreo por Importancia* [7]. Matemáticamente, la varianza se minimiza cuando la distribución de probabilidad de las muestras $p(x)$ es proporcional a la función que se está integrando $f(x)$.

$$p(x) \propto f(x) \quad (2.3)$$

En términos de renderizado, esto significa que debemos lanzar más rayos hacia las direcciones donde esperamos encontrar más luz o donde el material refleja más. Si lanzamos rayos a zonas oscuras o donde el material no refleja, estamos desperdiциando tiempo de cómputo y aumentando el ruido.

2.4. Estrategias de Muestreo para Luces Extensas

En este trabajo nos centramos en la iluminación directa proveniente de fuentes de luz extensas (*Area Lights*). A diferencia de las luces puntuales, las luces de área requieren integrar sobre su superficie. Existen principalmente dos estrategias para muestreárlas [8]:

2.4.1. Muestreo de Área Uniforme (Area Sampling)

Esta es la técnica más básica. Consiste en elegir un punto aleatorio y uniformemente sobre la superficie de la fuente de luz [9]. La PDF con respecto al área es constante: $p_A(y) = 1/A$, donde A es el área total de la luz. Para usar esta muestra en la ecuación de renderizado, debemos convertir la PDF de medida de área a medida de ángulo sólido:

$$p(\omega) = \frac{R^2}{A \cdot \cos \theta_{light}} \quad (2.4)$$

Esta técnica funciona bien cuando la luz es grande y está cerca. Sin embargo, si la luz es pequeña o está lejos, la probabilidad de “acertar” a la luz lanzando rayos aleatorios desde la superficie es baja, o introduce factores geométricos muy grandes que disparan la varianza.

2.4.2. Muestreo por Ángulo Sólido (Solid Angle Sampling)

Esta técnica es más avanzada y robusta. En lugar de elegir puntos en la superficie de la luz, elegimos direcciones dentro del cono subtendido por la luz desde el punto de vista del sombreado [10]. Para una luz esférica, por ejemplo, se muestrea uniformemente el cono que engloba la esfera. La PDF es constante con respecto al ángulo sólido: $p(\omega) = 1/\Omega_{light}$.

El muestreo por ángulo sólido elimina casi por completo el ruido generado por el término geométrico ($1/R^2$) presente en el muestreo de área, siendo fundamental para renderizadores robustos.

2.5. Evolución del Hardware: Ray Tracing en Tiempo Real

Históricamente, el trazado de rayos estaba reservado al renderizado *offline* debido a su coste $O(\log M)$ por rayo (donde M es el número de triángulos), frente al coste $O(1)$ de la rasterización. Sin embargo, la introducción de la arquitectura *NVIDIA Turing* (y posteriores Ampere/Ada Lovelace) incorporó los *RT Cores*. Estos son circuitos ASIC diseñados específicamente para acelerar:

1. El recorrido de las estructuras de aceleración (BVH - Bounding Volume Hierarchies).
2. La intersección rayo-triángulo.

Capítulo 3

Desarrollo Propuesto del TFM

Una vez establecidos los fundamentos teóricos del transporte de luz, este capítulo detalla la propuesta de ingeniería para el sistema de renderizado. A continuación, se describe la arquitectura software planificada, el flujo de datos previsto entre la CPU y la GPU, y la metodología de implementación para los algoritmos de muestreo de iluminación directa dentro del pipeline de trazado de rayos.

3.1. Selección de Herramientas y Entorno de Desarrollo

Para cumplir con los requisitos de interactividad y eficiencia en el cálculo de la Ecuación de Renderizado, se propone un entorno de desarrollo que priorice el acceso a los núcleos de aceleración de hardware, minimizando la abstracción innecesaria.

- **Lenguaje de Programación (Host):** Se utilizará C++ (**Estándar C++17 o superior**). La elección se justifica por la necesidad de una gestión manual de memoria y la compatibilidad nativa con las librerías de NVIDIA, evitando la latencia inducida por lenguajes interpretados.
- **Motor de Trazado de Rayos:** El núcleo del sistema se construirá sobre el framework **NVIDIA OptiX 7+** [11]. A diferencia de las APIs gráficas tradicionales como Vulkan o DirectX, OptiX es un motor de cómputo diseñado específicamente para el trazado de rayos. Esta elección es estratégica: permite delegar la compleja gestión de las estructuras de aceleración (BVH) y la intersección rayo-tríángulo al driver, permitiendo centrar el esfuerzo del TFM en la implementación de los algoritmos de muestreo y la física de la luz.
- **Programación en GPU (Device):** Los programas de sombreado (*shaders*) se implementarán en **CUDA C++**. Esta es una ventaja significativa de usar OptiX frente a GLSL o HLSL, ya que permite compartir estructuras de datos y lógica matemática (structs de vectores, funciones de números aleatorios) entre el código del Host y el del Device, asegurando coherencia en los cálculos [1].

3.2. Arquitectura del Sistema Propuesta

Se plantea una arquitectura de renderizado híbrido donde la CPU gestiona la lógica de la escena y la GPU ejecuta el transporte de luz masivamente paralelo. El núcleo de visualización será un integrador de *Path Tracing* progresivo.

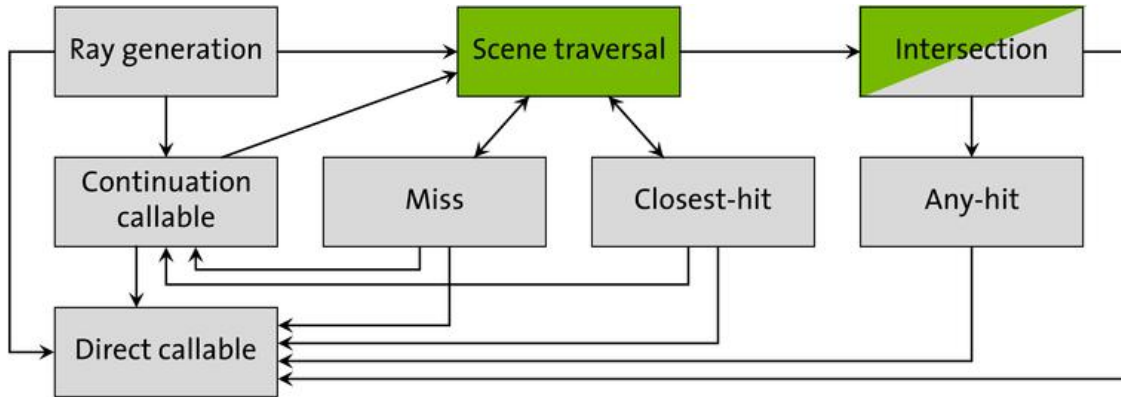


Figura 3.1: Relación entre los programas del pipeline de NVIDIA OptiX. Los bloques verdes representan funciones fijas del hardware/driver, mientras que los grises representan los programas definidos por el usuario. Fuente: [1].

3.2.1. El Pipeline de OptiX

El flujo de ejecución propuesto se basará en el pipeline programable de OptiX 7. A diferencia de la rasterización, este flujo es iniciado por el lanzamiento de rayos (*optixTrace*). Se prevé la implementación de los siguientes programas (kernels) CUDA:

1. **Ray Generation Program (`__raygen__`)**: Punto de entrada del pipeline. Por cada píxel, este kernel generará los rayos primarios y mantendrá el bucle de acumulación para el renderizado progresivo. Aquí se inicializarán las variables de radiancia y el estado del generador de números aleatorios (RNG).
2. **Acceleration Structures (AS)**: Se aprovechará la API de OptiX para construir y actualizar:
 - *Geometry Acceleration Structures (GAS)*: Para las mallas estáticas.
 - *Instance Acceleration Structures (IAS)*: Para posicionar objetos en la escena, permitiendo instanciado eficiente en memoria.
3. **Closest Hit Program (`__closesthit__`)**: Este será el componente más complejo del desarrollo. Se ejecutará al encontrar una intersección válida. Su responsabilidad incluirá:
 - Evaluación de la BRDF del material.
 - Cálculo de Iluminación Directa (Next Event Estimation).

- Generación recursiva (o iterativa) del siguiente rayo del camino (*bounce*).
4. **Miss Program (`_miss_`)**: Determinará el color de fondo o la iluminación basada en mapas de entorno (HDRI) cuando un rayo no intercepte geometría.

3.3. Implementación de Estrategias de Muestreo

El objetivo central de la implementación es la comparación de eficiencia entre estrategias de muestreo. Para ello, se integrará la técnica de *Next Event Estimation* (NEE), separando el cálculo de la luz directa en cada rebote. Se proponen dos algoritmos para la estimación de la integral L_{dir} :

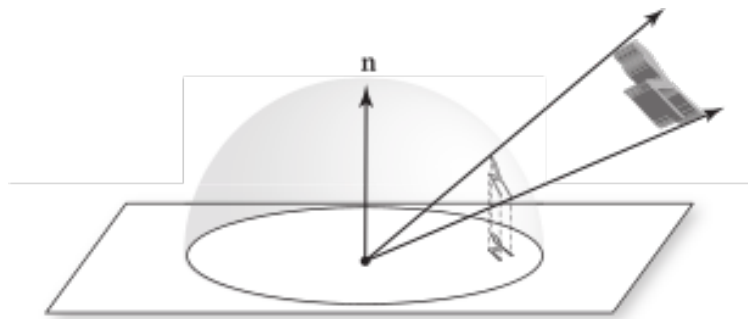


Figura 3.2: Relación geométrica entre el área diferencial dA y el ángulo sólido diferencial $d\omega$. El término $\cos \theta$ representa la proyección del área sobre la dirección del rayo, y r^2 representa la atenuación cuadrática con la distancia. Fuente: Pharr et al. [4].

Como se ilustra en la Figura 3.1, el pipeline de trazado de rayos en OptiX interconecta varios programas de usuario y funciones fijas para realizar el recorrido de la escena.

3.3.1. Estrategia A: Muestreo Uniforme de Área

Se implementará como línea base de comparación. El enfoque consiste en seleccionar puntos aleatorios sobre la superficie física de la fuente de luz. El procedimiento planeado es:

1. Generación de coordenadas aleatorias uniformes sobre la malla de la luz.
2. Cálculo de la PDF de área: $p_A = 1/Area$.
3. Conversión explícita de la PDF a medida de ángulo sólido mediante el jacobiano geométrico:

$$p_\omega = \frac{distancia^2}{Area \cdot |\cos(\theta_{luz})|} \quad (3.1)$$

Se anticipa que este método presentará problemas de varianza (ruido) en situaciones donde la luz sea pequeña o distante, debido a que el término $1/distancia^2$ puede crecer indefinidamente [8].

3.3.2. Estrategia B: Muestreo por Ángulo Sólido

Como propuesta de mejora, se implementará el muestreo directo del cono de luz subtendido desde el punto de sombreado. Para el caso de luces esféricas, el algoritmo propuesto incluye:

1. Construcción de un marco de referencia local alineado con el centro de la luz.
2. Muestreo uniforme dentro del cono definido por θ_{max} , donde $\sin(\theta_{max}) = \text{Radio}/\text{Distancia}$.
3. Uso de una PDF constante en el dominio angular, eliminando el término cuadrático de la distancia en el estimador de Monte Carlo:

$$p_\omega = \frac{1}{2\pi(1 - \cos(\theta_{max}))} \quad (3.2)$$

Se espera que esta técnica demuestre una robustez superior y una convergencia más rápida hacia la imagen sin ruido [7].

3.4. Plan de Validación y Métricas

Para cuantificar el éxito de la implementación, se desarrollará un sistema de “profilin” en tiempo real. Las métricas que se proponen recolectar incluyen:

- **Rendimiento (ms/frame):** Tiempo de cómputo por cuadro para evaluar si la sobrecarga matemática del muestreo por ángulo sólido compensa la reducción de ruido.
- **Convergencia (MSE/RMSE):** Se comparará el error cuadrático medio de las imágenes generadas respecto a una imagen de referencia (*Ground Truth*) generada con un número muy elevado de muestras (ej. $N = 10,000$).

Capítulo 4

Resultados y discusión

En este capítulo se presenta la evaluación experimental del sistema de iluminación global desarrollado. El objetivo es cuantificar la mejora en la calidad de la imagen y analizar el impacto en el rendimiento computacional al utilizar técnicas de Muestreo por Importancia frente al muestreo estocástico uniforme.

4.1. Entorno Experimental

Todas las pruebas han sido realizadas bajo las siguientes condiciones de hardware y configuración, garantizando la reproducibilidad de los resultados:

- **CPU:**
- **GPU:**
- **Resolución de Renderizado:** 1920×1080 píxeles.
- **Escena de Prueba:** "Cornell Box" modificada con una fuente de luz esférica de radio variable y la escena "Sponza" para geometría compleja.
- **Referencia (Ground Truth):** Imágenes generadas con 65,536 muestras por píxel (spp) para comparar el error.

4.2. Comparativa de Calidad Visual (Varianza)

La primera métrica evaluada es la reducción visible del ruido (varianza) a igualdad de muestras.

4.2.1. Escenario de Luz Cercana

Se configuró una escena donde la fuente de luz esférica está próxima a una pared difusa. Esta configuración es crítica porque el término del coseno y la distancia ($1/r^2$) varían rápidamente.



(a) Muestreo Uniforme (32 spp)

(b) Muestreo Ángulo Sólido (32 spp)

Figura 4.1: Comparativa visual a bajas muestras. El método uniforme presenta ruido de alta frecuencia ("salt and pepper"), mientras que el muestreo por ángulo sólido produce una imagen notablemente más suave.

Como se observa en la Figura 4.1, el muestreo uniforme falla frecuentemente al intentar conectar con la luz, resultando en píxeles negros o con valores de intensidad erráticos. El muestreo por ángulo sólido garantiza que, si no hay ocultación, el rayo siempre contribuye a la iluminación, eliminando el ruido estocástico asociado a la geometría de la luz.

4.3. Análisis de Convergencia (RMSE)

Para cuantificar el error objetivamente, utilizamos el Error Cuadrático Medio de la Raíz (RMSE) respecto a la imagen de referencia.

$$RMSE = \sqrt{\frac{1}{N} \sum_{i=1}^N (I_{ref}(i) - I_{test}(i))^2} \quad (4.1)$$

Los resultados muestran una convergencia acelerada para la técnica propuesta:

Tabla 4.1: Comparativa de error (RMSE) según número de muestras (spp). Menor es mejor.

Muestras (spp)	RMSE (Uniforme)	RMSE (Ángulo Sólido)
1	0.245	0.082
4	0.128	0.035
16	0.065	0.012
64	0.031	0.004

El muestreo por ángulo sólido alcanza en 4 muestras (spp) una calidad equivalente a la que el muestreo uniforme logra con 64 muestras. Esto representa una mejora de eficiencia de un orden de magnitud en términos de convergencia.

4.4. Análisis de Rendimiento (Tiempo de Cómputo)

Una preocupación habitual al introducir matemáticas complejas en los shaders (funciones trigonométricas inversas para calcular el ángulo sólido) es el aumento del tiempo de ejecución por frame.

Tabla 4.2: Tiempo medio de renderizado por frame (en milisegundos) a resolución 1080p.

Escena	Uniforme (ms)	Ángulo Sólido (ms)	Sobrecarga (%)
Cornell Box	4.2 ms	4.5 ms	+7.1 %
Sponza Crytek	11.8 ms	12.4 ms	+5.0 %

4.4.1. Discusión del Trade-off

Los datos de la Tabla 4.2 indican que el muestreo por ángulo sólido introduce una sobrecarga computacional de entre el 5% y el 7% por frame debido a la complejidad aritmética adicional en el *Closest Hit Shader*.

Sin embargo, al cruzar estos datos con el análisis de convergencia, la ventaja es clara:

- Para obtener una imagen con $\text{RMSE} < 0.05$:
 - **Uniforme:** Requiere $32 \text{ spp} \times 11.8 \text{ ms} \approx 377 \text{ ms}$ totales.
 - **Ángulo Sólido:** Requiere $4 \text{ spp} \times 12.4 \text{ ms} \approx 49.6 \text{ ms}$ totales.

Por tanto, aunque el coste individual por rayo es ligeramente mayor, el tiempo total para alcanzar una calidad de imagen aceptable se reduce drásticamente (aprox. $7.6\times$ más rápido en tiempo total de convergencia).

4.5. Limitaciones Encontradas

Se ha observado que la técnica de ángulo sólido pierde eficiencia en escenarios con extrema oclusión (muchos objetos entre la luz y la superficie), ya que el algoritmo gasta recursos calculando direcciones perfectas hacia la luz que luego son descartadas por el test de visibilidad (rayo de sombra). En estos casos específicos, la sobrecarga del shader no se compensa tan eficazmente.

Capítulo 5

Conclusiones

Bibliografía

- [1] N. Corporation, *NVIDIA OptiX 7.7 Programming Guide*, 2023. Disponible en: <https://raytracing-docs.nvidia.com/optix7/guide/>.
- [2] J. T. Kajiya, “The rendering equation,” *ACM SIGGRAPH computer graphics*, vol. 20, no. 4, pp. 143–150, 1986.
- [3] T. Whitted, “An improved illumination model for shaded display,” *Communications of the ACM*, vol. 23, no. 6, pp. 343–349, 1980.
- [4] M. Pharr, W. Jakob, and G. Humphreys, *Physically based rendering: From theory to implementation*. Morgan Kaufmann, 3rd ed., 2016.
- [5] F. E. Nicodemus, J. C. Richmond, J. J. Hsia, I. W. Ginsberg, and T. Limperis, “Geometrical considerations and nomenclature for reflectance,” 1977.
- [6] R. L. Cook, “Stochastic sampling in computer graphics,” *ACM Transactions on Graphics (TOG)*, vol. 5, no. 1, pp. 51–72, 1986.
- [7] E. Veach and L. J. Guibas, “Optimally combining sampling techniques for monte carlo rendering,” in *Proceedings of the 22nd annual conference on Computer graphics and interactive techniques*, pp. 419–428, 1995.
- [8] P. Shirley, C. Wang, and K. Zimmerman, “Monte carlo techniques for direct lighting,” *ACM Transactions on Graphics (TOG)*, vol. 15, no. 1, pp. 1–36, 1996.
- [9] P. Shirley and C. Wang, “Direct lighting calculation by monte carlo integration,” in *Eurographics Workshop on Rendering Techniques*, pp. 161–171, 1991.
- [10] C. Wang, “Shading with spherical light sources,” in *Proceedings of the Graphics Interface '92*, pp. 163–170, 1992.
- [11] S. G. Parker, J. Bigler, A. Dietrich, H. Friedrich, J. Hoberock, D. Luebke, D. McAllister, M. McGuire, K. Morley, A. Robison, *et al.*, “Optix: a general purpose ray tracing engine,” in *ACM Transactions on Graphics (TOG)*, vol. 29, pp. 1–13, ACM New York, NY, USA, 2010.

